

Имитационное моделирование процесса обтекания разреженным газом сетчатой конструкции

Ненашева Анна Александровна, гр. 522

Санкт-Петербургский государственный университет
Математико-механический факультет
Кафедра статистического моделирования

Научный руководитель: к.ф.-м.н., д. Христинич В.Б.

Рецензент: к.ф.-м.н., д. Кривулин Н.К.



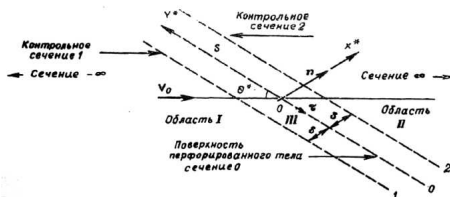
Цель работы:

- исследование обтекания сетчатой конструкции потоком разреженного газа методом имитационного статистического моделирования с использованием приближенного аналитического решения

Для реализации этого рассмотрено приближенное аналитическое решение процесса обтекания, методы статистического моделирования для решения интегральных уравнений и весовые методы Монте-Карло, разработана программа, моделирующая процесс обтекания и обрабатывающая полученные результаты.

Постановка задачи обтекания сетчатой конструкции

Физическая картина обтекания сетчатой конструкции.



\mathbf{n} – нормаль поверхности, $\pi/2 - \theta^*$ – угол между направлением \mathbf{V}_0 – вектора скорости потока газа и \mathbf{n} внутренней нормалью к поверхности.

Параметры в сечении: $x^* = -\infty - (n_0, V_0, T_0)$;

в сечении 1, $x^* = -\delta - (n_1, V_1, T_1)$;

в сечении 2, $x^* = -\delta - (n_2, V_2, T_2)$;

в сечении $x^* = -\infty - (n, V, T)$;

Вывод основных соотношений задачи обтекания

Локального равновесное распределение Максвелла-Больцмана:

$$f_M(n_i, \mathbf{V}_i, T_i, \mathbf{u}) = n_i \left[\frac{m}{2kT_i\pi} \right]^{3/2} \exp\left(-\frac{m}{2kT_i} (\mathbf{u} - \mathbf{V}_i)^2 \right), \quad (1)$$

где n_i — концентрация частиц в точке x_i ,

\mathbf{V}_i — их макроскопическая скорость,

T_i — температура частиц газа в точке x_i .

$f_M(n_i, \mathbf{V}_i, T_i, \mathbf{u})/n_i$ — плотность нормального трехмерного закона с независимыми компонентами вектора \mathbf{u} .

Мат. ожидание $E_i(\mathbf{u}) \equiv \mathbf{V}_i$.

Дисперсия $D_i(\mathbf{u}) \equiv 3RT_i$.

Вывод основных соотношений задачи обтекания

Модель функции распределения в сечении 1, $x^* = -\delta$:

$$f_1(\mathbf{u}) = \begin{cases} f_M(n_1, \mathbf{V}_1, T_1, \mathbf{u}), & u_n > 0, \\ pf_M(n_2, \mathbf{V}_2, T_2, \mathbf{u}) + (1-p)f_r(n_{1r}, \mathbf{V}_{1r}, T_{1r}, \mathbf{u}), & u_n < 0. \end{cases} \quad (2)$$

В сечении решетки 0, $x^* = 0$:

$$f_0(\mathbf{u}) = \begin{cases} f_M(n_1, \mathbf{V}_1, T_1, \mathbf{u}), & u_n > 0, \\ f_M(n_2, \mathbf{V}_2, T_2, \mathbf{u}), & u_n < 0. \end{cases} \quad (3)$$

В сечении 2, $x^* = \delta$:

$$f_2(\mathbf{u}) = \begin{cases} f_M(n_2, \mathbf{V}_2, T_2, \mathbf{u}), & u_n < 0, \\ pf_M(n_1, \mathbf{V}_1, T_1, \mathbf{u}) + (1-p)f_r(n_{2r}, \mathbf{V}_{2r}, T_{2r}, \mathbf{u}), & u_n > 0. \end{cases} \quad (4)$$

$p=d/D$ – коэффициент перфорации, где d – сумарная площадь отверстий, D – общая площадь потока.

Приближенное аналитическое решение

Рассмотрим скорости частиц \mathbf{u} , такие, что

$$\mathbf{u} \in \{\mathbf{u} : (\mathbf{u} \cdot \mathbf{n}) > 0\} = \Omega(\mathbf{u}),$$

тогда при $\mathbf{r} \in \Delta S_{km}$ и $\mathbf{u} \in \Omega(\mathbf{u})$ плотность распределения отраженных частиц $f_r(n_{ir}, \mathbf{V}_{ir}, T_{ir}, \mathbf{u})$ удовлетворяет уравнению

$$(\mathbf{n} \cdot \mathbf{u}) f_r(\mathbf{u}, \mathbf{r}) = - \int_{(\mathbf{n} \cdot \mathbf{u}_1) < 0} T(\mathbf{u}, \mathbf{u}_1) f_r(\mathbf{u}_1, \mathbf{r}) (\mathbf{n} \cdot \mathbf{u}_1) d\mathbf{u}_1 \quad (5)$$

Функция $T(\mathbf{u}, \mathbf{u}_1)$ – граничная трансформанта, плотность распределения отраженных частиц, удовлетворяет в $\Omega(\mathbf{u})$

$$\mathbf{u} \in \Omega(\mathbf{u}), \quad T(\mathbf{u}, \mathbf{u}_1) \geq 0, \quad \int_{\Omega(\mathbf{u})} T(\mathbf{u}, \mathbf{u}_1) d\mathbf{u} = 1,$$

в остальных случаях $T(\mathbf{u}, \mathbf{u}_1) = 0$.

Приближенное аналитическое решение

При диффузно-зеркальном отражении с λ долей диффузно отраженных частиц

$$f_r(n_{ir}, \mathbf{V}_{ir}, T_{ir}, \mathbf{u}) = (1 - \lambda)f_M(n_i, \mathbf{V}_i, T_i, \mathbf{u} - 2\mathbf{n}(\mathbf{u} \cdot \mathbf{n})) + \lambda f_M(n_{ir}, 0, T_{ir}, \mathbf{u}). \quad (6)$$

Для стационарного течения газа в случае отсутствия внешних сил выполняются следующие уравнения для моментов распределения скоростей частиц:

$$\frac{d}{dx^*} \int_{(\mathbf{u})} u_{x^*} \psi(\mathbf{u}) f(x^*, \mathbf{u}) d\omega = 0, \quad \psi(\mathbf{u}) = \left\{ m, m\mathbf{u}, m\frac{u^2}{2} \right\}. \quad (7)$$

В результате решения системы уравнений получим параметры в распределениях (2)- (4). Проинтегрируем распределения (2)- (4) с найденными параметрами, получим концентрации, скорости и температуры в различных сечениях.

Приближенное аналитическое решение

Концентрации в сечениях 1,0,2 (в асимптотическом пределе при $S_j > 3$) :

$$\begin{aligned} \frac{n(x^* = -\delta)}{n_0} &= \frac{n_1}{n_0} \frac{(1-p)}{p} \sqrt{\pi T_{W0}} S_0 \sin(\theta^*), \\ \frac{n(x^* = 0)}{n_0} &= \frac{n_1}{n_0} = n_{10}, \quad \frac{n(x^* = \delta)}{n_0} = p \frac{n_1}{n_0} = p n_{10}. \end{aligned} \quad (8)$$

Модуль векторов скорости в сечениях 1,0,2:

$$\begin{aligned} \frac{V(x^* = -\delta)}{V_0} &= \frac{n_0}{n(x^* = -\delta)}, \\ \frac{V(x^* = 0)}{V_0} &= \frac{n_0}{n(x^* = 0)}, \quad \frac{V(x^* = \delta)}{V_0} = \frac{n_0}{n(x^* = \delta)}, \end{aligned} \quad (9)$$

где $S_j = V_j/c_j = V_j(\sqrt{2RT_j})^{-1}$, $T_{W0} = T_W/T_0$.

Приближенное аналитическое решение

Температура газа перед решеткой $x^* = -\delta$:

$$\frac{T(x^* = -\delta)}{T_0} = \frac{1}{3} \frac{n_0}{n(x^* = -\delta)} \left[1 + 2S_0^2 \left(\sin^2(\theta^*) - \frac{n_0}{n(x^* = -\delta)} \right) + \right. \\ \left. + 2n_{10}c_{10}^2 g S_1 + 2 \frac{1-p}{p} S_0 \sin(\theta^*) \sqrt{\pi T_{W0}} \right], \quad (10)$$

температура газа в сечении решетки $x^* = 0$:

$$\frac{T(x^* = 0)}{T_0} = \frac{1}{3} \frac{n_0}{n(x^* = 0)} \left[1 + 2S_0^2 \left(\sin^2(\theta^*) - \frac{n_0}{n_1} \right) + 2n_{10}c_{10}^2 g S_1 \right], \quad (11)$$

в сечении $x^* = \delta$:

$$\frac{T(x^* = \delta)}{T_0} = \frac{1}{3} \frac{n_0}{n(x^* = \delta)} \left[1 + 2S_0^2 \left(\sin^2(\theta^*) - \frac{n_0}{n(x^* = \delta)} \right) + \right. \\ \left. + 2pn_{10}c_{10}^2 g S_1 \right], \quad gS_j = 1 + (S_j \cos(\theta^*))^2, \quad c_{10} = c_1/c_0.$$

Решение интегральных уравнений 2-го рода методом Монте-Карло

Интегральное уравнение 2-го рода:

$$\varphi(x) = \int_X k(x', x) \varphi(x') dx' + f(x). \quad (13)$$

Представление решения уравнения (13) рядом Неймана:

$$\varphi(x) = \sum_{n=0}^{\infty} K^n f, \quad (14)$$

где $[K^n f](x) = \int_X \dots \int_X f(x_0) k(x_0, x_1) \dots k(x_{n-1}, x) dx_0 \dots dx_{n-1}$.

Уравнение (13) рассматривается в пространстве $N_1(X)$ обобщенных плотностей мер ограниченной вариации.

Сопряженное: $\varphi^* = K^* \varphi^* + h$ - в пространстве

$C_1(X) = C_+(X) \cup C_0(X)$.

Функция $\varphi^* = \sum_{n=0}^{\infty} K^{*n} h = \sum_{n=0}^{\infty} (K^n \delta, h)$.

Решение интегральных уравнений 2-го рода методом Монте-Карло

Для оценки линейных функционалов вида

$$I_h = (\varphi, h) = \int_X \varphi(x)h(x)dx = \sum_{n=0}^{\infty} (K^n f, h), \quad h \in C_1(X). \quad (15)$$

Прямое моделирование исходной цепи Маркова:

$$I_h = E \left[\sum_{n=0}^N h(x_n) \right].$$

Можно ввести вспомогательные веса по формулам:

$$Q_0(x_0) = \frac{f(x_0)}{\pi(x_0)}, \quad Q_n = Q_{n-1} \frac{k(x_{n-1}, x_n)}{p(x_{n-1}, x_n)}. \quad (16)$$

Тогда весовая оценка по столкновениям:

$$\xi = \sum_{n=0}^N Q_n h(x_n).$$

Постановка задачи прямого моделирования процесса обтекания сетчатой конструкции



Y_{max} – размер входного сечения;

X_{max} – размер рассматриваемой области по оси X ;

Вектор скорости: $\mathbf{V} = V_x \mathbf{n} + V_y \tau$,

$$V_x = |\mathbf{V}| \sin(\theta), \quad V_y = |\mathbf{V}| \cos(\theta).$$

Местоположение частицы: $\mathbf{r} = \mathbf{r}_0 + \mathbf{V}t$, где $\mathbf{r}_0 = y_0 \tau$ вектор начального положения частицы с координатами (x_0, y_0) .

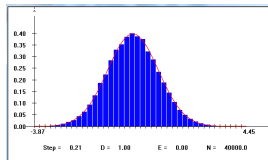
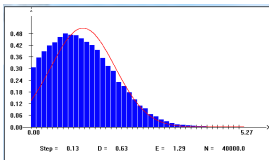
Задание параметров задачи прямого моделирования

Параметры

| | | | |
|------------------------------------|------|---------------------|-------|
| Входное сечение | 1.00 | Дисперсия V_x | 1.00 |
| Размер по x | 1.71 | Дисперсия V_y | 1.00 |
| Количество отверстий в поверхности | 4 | Количество столбцов | 40 |
| Размер отверстия | 0.14 | Количество частиц | 40000 |
| Мат. ожидание V_x | 1.00 | | |
| Мат. ожидание V_y | 0.00 | | |

OK

Гистограмма на левой границе расчетной области по скоростям вдоль направления \mathbf{n} (V_x): и вдоль направления τ (V_y):



Для моделирования движения частиц предусмотрено два способа:

- Моделирование движения частиц проводится посредством дискретных шагов времени. На каждом шаге для каждой частицы определяются местоположение центра и значение составляющих скоростей по обеим осям. Происходит визуализация процесса.
- Последовательное моделирование траекторий движения каждой частицы. Для каждой частицы по начальным данным просчитывается траектория и вычисляется последующее ее местоположение на поверхности, границах области или в сечениях.

Результаты расчетов

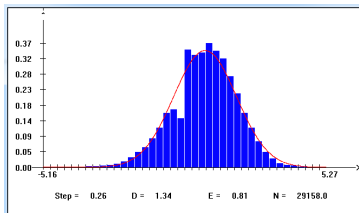


рис.1. Скорости по оси X
частиц, попавших в
отверстие конструкции.

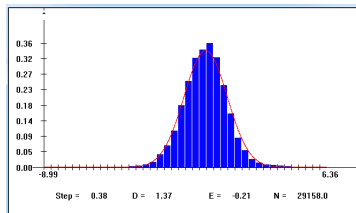


рис.2. Скорости по оси Y
частиц, попавших в
отверстие конструкции.

Результаты расчетов

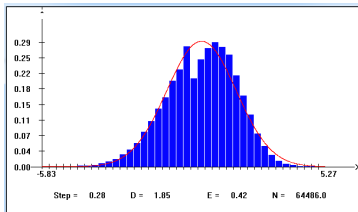


рис.3. Скорости по оси X
частиц, попавших в
контрольное сечение 1.

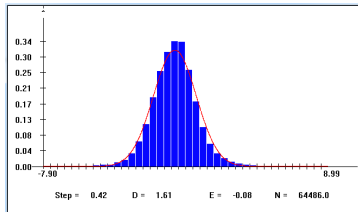


рис.4. Скорости по оси Y
частиц, попавших в
контрольное сечение 1.

Результаты расчетов

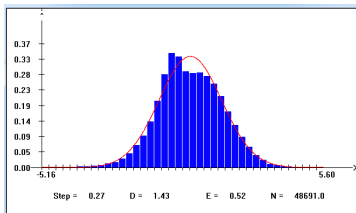


рис.5. Скорости по оси X
частиц, попавших в
контрольное сечение 2.

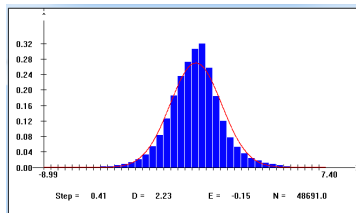


рис.6. Скорости по оси Y
частиц, попавших в
контрольное сечение 2.

Заключение.

- Рассмотрена задача и приведено приближенное аналитическое решение задачи обтекания сетчатой конструкции.
- Сформулирована постановка задачи прямого моделирования, на основании которой разработана программа моделирования процесса.
- Приведены гистограммы эмпирической плотности распределения скоростей частиц, произведены оценки параметров распределения, на сетчатой поверхности и в контрольных сечениях, осуществлена визуализация процесса движения частиц. Полученные данные в дипломе позволяют оценить скорость потока и температуру в различных точках.